

учет переменности уплотнения на фронте волны разрушения приводит к существенному увеличению как полной упругой энергии, так и энергии, уходящей на бесконечность.

На фиг. 4 представлена зависимость от начального уплотнения величины $d = e(\lambda = 1)/e(\lambda = 0)$, т. е. отношения энергии, излученной на бесконечность при $\lambda = 1$, к этой же энергии, рассчитанной при $\lambda = 0$. Видно, что для среды с ϵ_0 порядка 10% (а ϵ_0 совпадает с начальной пористостью среды) эффект увеличения e наиболее существен.

Приведенное в работе рассмотрение показывает, что учет переменности уплотнения среды на фронте волны разрушения дает существенное изменение характеристик упругого сигнала камуфлетного взрыва.

Авторы благодарят О. В. Нагорнова за полезные замечания и обсуждения.

Поступила 11 X 1982

ЛИТЕРАТУРА

1. Механический эффект подземного взрыва/Под ред. М. А. Садовского. М.: Недра, 1974.
2. Багдасарян А. Б. Расчет действия взрыва в хрупкой горной породе (разрушение раздавливанием, образованием трещин скола и отрыва).—ИМТФ, 1970, № 5.
3. Дунин С. З., Нагорнов О. В., Понов Е. А. Излучение упругих волн при камуфляжном взрыве.—Изв. АН СССР. Физика Земли, 1982, № 2.
4. Николаевский В. И., Басинев К. С., Горбунов А. Г., Зотов Г. А. Механика насыщенных пористых сред. М.: Недра, 1970.
5. Дунин С. З., Сироткин В. К. Расширение газовой полости в хрупкой породе с учетом дилатационных свойств грунта.—ПМТФ, 1977, № 4.

УДК 624.131 + 551.345

ВЗРЫВНЫЕ ВОЛНЫ В МЕРЗЛЫХ ГРУНТАХ

Г. М. Ляхов, Г. Б. Фраш

(Москва)

Приводятся результаты экспериментальных исследований сферических взрывных волн в сезонно-мерзлых грунтах с разными физико-механическими характеристиками при разной температуре. Из сопоставления с результатами исследований [1,2] следует, что параметры волны существенно зависят от характеристики грунта в исходном немерзлом состоянии и от температуры. При понижении температуры максимальные напряжения и скорость распространения волны возрастают, а ее длительность убывает.

Общий характер угасания и размыкания волны в мерзлых грунтах, так же как и в немерзлых, соответствует средам, обладающим пластическими свойствами и объемной вязкостью [2].

1. Характеристики грунтов и условия проведения опытов. Мерзлые грунты являются четырехкомпонентными средами, включающими твердые минеральные частицы, образующие скелет, незамерзшую воду, лед и воздух. Обозначим через α_1 объем воздуха (свободного порового пространства), α_2 — воды, α_3 — минеральных частиц, α_4 — льда, в единице объема грунта (α_4 называют также объемной льдистостью); ρ_1 , ρ_2 , ρ_3 , ρ_4 — плотность материала соответствующих компонентов. Эти величины связаны с плотностью грунта ρ_0 , массовой (весовой) влажностью w , массовой льдистостью i уравнениями

$$(1.1) \quad \alpha_1 + \alpha_2 + \alpha_3 + \alpha_4 = 1, \quad \alpha_1\rho_1 + \alpha_2\rho_2 + \alpha_3\rho_3 + \alpha_4\rho_4 = \rho_0, \\ \alpha_4\rho_4/(\alpha_2\rho_2 + \alpha_4\rho_4) = i, \quad (\alpha_2\rho_2 + \alpha_4\rho_4)/\alpha_3\rho_3 = w.$$

При понижении температуры объемное содержание компонентов меняется. Это происходит за счет возможной миграции воды к фронту промерзания из нижележащих слоев грунта, а также за счет постепенного замерзания поровой воды [3, 4]. Поэтому значения приведенных выше ве-

Таблица 1

Размер частиц, мм	Содержание фракций, %
0,5	5
0,5—0,25	16
0,25—0,1	21,4
0,1	57,6

Таблица 2

Размер частиц, мм	Содержание фракций, %
0,1—0,05	24
0,05—0,01	52
0,01—0,05	12
0,05	12

личин должны соответствовать температуре, при которой проводятся опыты, а также исходному (атмосферному) давлению.

Эксперименты проводились в песчаном и суглинистом грунтах естественного сложения в условиях сезонного промерзания до глубины 0,45—0,5 м. Гранулометрический состав песчаного грунта приведен в табл. 1.

При температуре грунта $t = -0,2^\circ\text{C}$ средние значения характеристик грунта составляли: $\rho_0 = 1840 \text{ кг}/\text{м}^3$, $\rho_3 = 2660 \text{ кг}/\text{м}^3$, $w = 0,27$, $i = 0,73$.

Гранулометрический состав суглинистого грунта приведен в табл. 2.

По гранулометрическому составу грунт относится к пылевидным суглинкам, близким к супеси. При температуре $-0,2^\circ\text{C}$ и $-0,4^\circ\text{C}$ средние значения характеристик составляли: $\rho_0 = 1920 \text{ кг}/\text{м}^3$, $\rho_3 = 2680 \text{ кг}/\text{м}^3$, $w = 0,22$ в обоих случаях, а льдистость $i = 0,5$ и $0,75$ соответственно.

Принимая плотность компонентов $\rho_1 = 1,2 \text{ кг}/\text{м}^3$, $\rho_2 = 1000 \text{ кг}/\text{м}^3$, $\rho_4 = 910 \text{ кг}/\text{м}^3$, в соответствии с уравнениями (1.1) найдем объемное содержание компонентов (табл. 3).

В незамерзшем состоянии грунты с таким содержанием компонентов являются водонасыщенными — газ содержится в виде пузырьков, изолированных от атмосферы. С уменьшением α_1 сжимаемость водонасыщенных немерзлых грунтов существенно уменьшается [2].

Измерения напряжения проводились пьезокерамическими датчиками с частотой собственных колебаний $\omega = 40\,000 \text{ Гц}$ и записью сигналов на электронных осциллографах, а также мембранными датчиками с $\omega = 4000 \text{ Гц}$ и записью на шлейфных осциллографах.

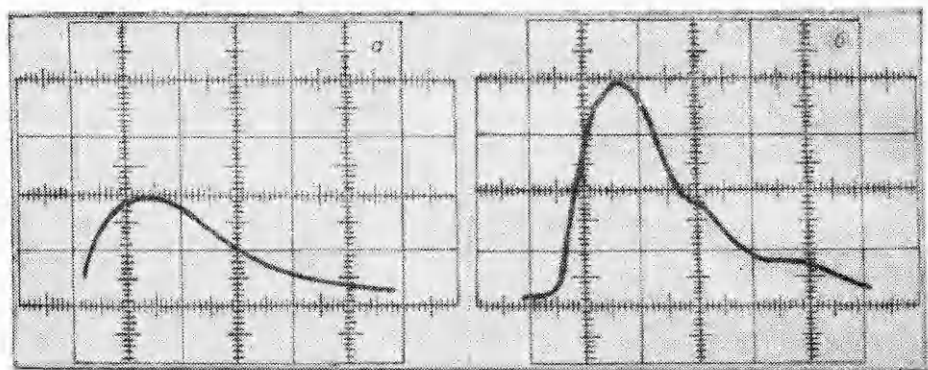
Датчики и заряд ВВ устанавливались на одной глубине в скважины, пробуренные в мерзлом грунте. После установки скважины заполнялись вынутым грунтом и трамбовались. Опыты ставились после смерзания грунта. Волны создавались при взрывах сосредоточенных зарядов ВВ массой 0,1 кг. Глубина установки датчиков h в песчаном грунте составляла 0,4 м при $t = -0,2^\circ\text{C}$, в суглинистом грунте $h = 0,2$ при $t = -0,4^\circ\text{C}$, $h = 0,35$ м при $t = -0,2^\circ\text{C}$ и $h = 0,45$ при температуре, близкой к нулю. Последняя глубина соответствовала примерно границе промерзания. На каждом расстоянии измерялись радиальный σ_r и тангенциальный σ_θ компоненты напряжения. Применялся аммонит № 6 ЖВ, плотность $\rho = 1000 \text{ кг}/\text{м}^3$.

2. Результаты опытов. Введем относительное расстояние $R = r/r_0$, где r — расстояние от центра взрыва, r_0 — радиус заряда ВВ. Датчики ставились на расстояниях R от 10 до 35.

На фиг. 1, а, б представлены образцы записи напряжения в мерзлом песчаном грунте при $R = 13$ и 20. Максимальные напряжения при этом составляли 8 и 3,5 МПа. Расстояние между двумя соседними вертикальными линиями на осциллограммах (масштаб времени) — 100 и 500 мкс соответственно.

Таблица 3

Грунт	$t, {}^\circ\text{C}$	α_1	α_2	α_3	α_4
Песчаный	-0,2	0,037	0,105	0,545	0,313
Суглинистый	-0,2	0,048	0,192	0,585	0,175
«	-0,4	0,038	0,087	0,586	0,289

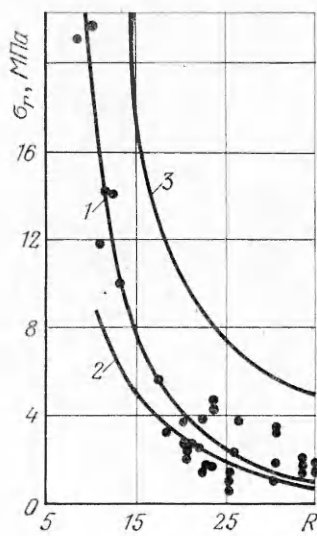


Ф и г. 1

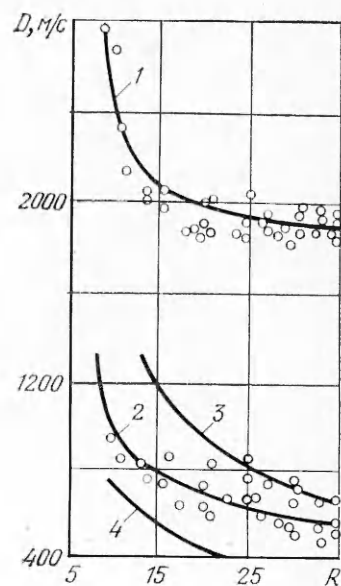
Из приведенных, а также остальных осциллограмм следует, что взрывная волна на исследованных расстояниях $10 \leq R \leq 35$, что соответствует максимальным значениям $\sigma_r < 20$ МПа, не является ударной. Нарастание напряжения до максимального значения происходит постепенно. При движении время нарастания напряжения до максимума τ и общая длительность волны θ возрастают. Рост τ и θ происходит примерно по линейному закону. При этом на расстоянии $R = 10$ имеем $\tau = 0,1$ мс, $\theta = 0,5$ мс, а при $R = 35$ — $\tau = 1$ мс, $\theta = 2,5$ мс. При определении τ и θ учитываются промежутки времени, когда σ_r составляет не менее 0,02—0,03 максимального на этом расстоянии значения напряжения.

На фиг. 2 кривая 1 с экспериментальными точками соответствует максимальным значениям радиального напряжения в мерзлом песчаном грунте $\sigma_r = \sigma_r(R)$. Кривые 2 и 3 без экспериментальных точек заимствованы из [2]. Они определяют максимальное напряжение $\sigma_r(R)$ в немерзлом песчаном водонасыщенном грунте естественного сложения с содержанием компонентов $\alpha_1 = 0,03—0,04$, $\alpha_2 = 0,36—0,37$, $\alpha_3 = 0,6$ и $\alpha_1 = 0,008—0,012$, $\alpha_2 = 0,388—0,392$, $\alpha_3 = 0,6$ соответственно при камуфлированных взрывах.

На фиг. 3 кривая 1 соответствует зависимости от расстояния скорости фронта волны $D_f(R)$. Под скоростью фронта понимается скорость распространения



Ф и г. 2



Ф и г. 3

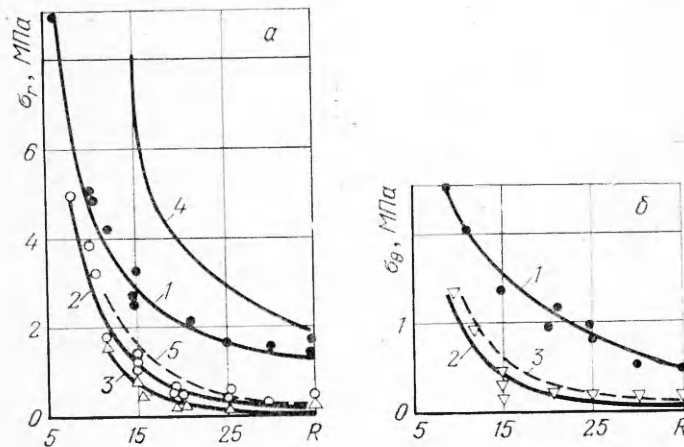
странения состояния в волне с напряжением σ_r , равным 0,02—0,03 максимального значения. Кривая 2 соответствует скорости распространения максимального напряжения в волне $D_m(R)$. Обе кривые относятся к песчаному грунту с температурой $t = -0,2^\circ\text{C}$. Кривые 4 и 3 определяют скорость распространения максимума напряжения в немерзлом песчаном водонасыщенном грунте при $\alpha_1 = 0,03 - 0,04$ и $\alpha_1 = 0,008 - 0,012$ соответственно [2].

Сопоставление кривых на фиг. 2 и 3 показывает, что при температуре $t = -0,2^\circ\text{C}$ максимальные напряжения $\sigma_r(R)$ и скорость их распространения $D_m(R)$ превышают их значения в немерзлом грунте примерно такой же плотности и примерно с таким же содержанием защемленного воздуха. При $\alpha_1 = 0,01$ напряжение $\sigma_r(R)$ и скорость $D_m(R)$ в немерзлом грунте существенно выше, чем в мерзлом при $\alpha_1 = 0,035$. Таким образом, цементация минеральных частиц льдом при $t = -0,2^\circ\text{C}$ и обусловливаемое ею уменьшение сжимаемости грунта приводят к меньшему изменению параметров волны, чем уменьшение сжимаемости, вызываемое сокращением содержания защемленного воздуха до 0,01 без понижения температуры. Отметим, что в мерзлом грунте взрывы не были камуфлированы, что может снижать значения напряжения и скорости.

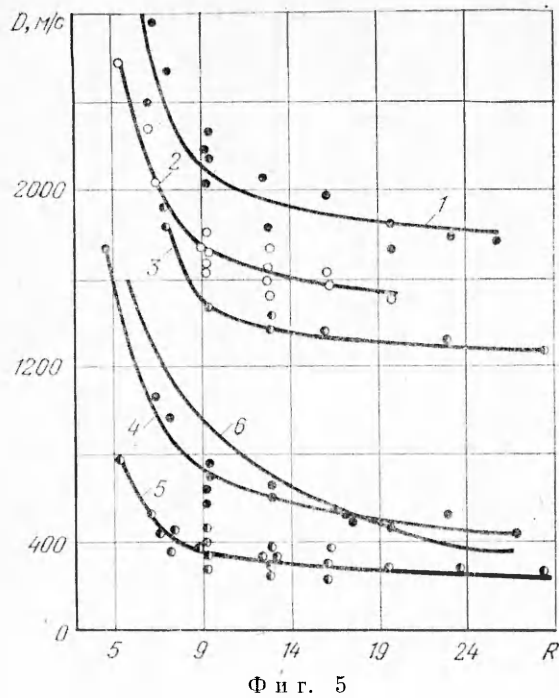
На фиг. 4, а, б представлены графики зависимости максимальных радиальных и тангенциальных напряжений от расстояния в суглинистом грунте. Кривые 1—3 на фиг. 4, а относятся к температуре $-0,4; -0,2$ и 0°C соответственно. Кривые тангенциальных напряжений 1 и 2 на фиг. 4, б соответствуют $t = -0,4$ и $-0,2^\circ\text{C}$. При $t = 0^\circ\text{C}$ кривая не приведена, она проходит на 15—20 % ниже кривой 2. Сопоставление показывает, что понижение температуры мерзлого грунта приводит к возрастанию радиальных и тангенциальных напряжений. При изменении температуры от 0 до $-0,2^\circ\text{C}$ напряжение в рассмотренном интервале расстояний возрастает на 20—50 %, а от $-0,2$ до $-0,4^\circ\text{C}$ существенно больше (в 4—5 раз). Это связано с тем, что цементация твердых частиц льдом возрастает с понижением температуры более интенсивно, чем по линейному закону.

Кривая 4 на фиг. 4, а, заимствованная из работы [2], соответствует радиальным напряжениям при взрыве в глинистом немерзлом грунте с $\rho_0 = 2000 - 2100 \text{ кг}/\text{м}^3$ и содержанием газообразного компонента $\alpha_1 = 0,02 - 0,03$. Сопоставление кривых 1 и 4 показывает, что понижение температуры от 0 до $-0,4^\circ\text{C}$ и связанная с этим цементация частиц льдом оказывают меньшее влияние на сжимаемость грунта и вызванное этим изменение параметров взрывных волн, чем понижение содержания защемленного воздуха от 0,048 до 0,02—0,03 при положительной температуре.

На фиг. 4, а кривая 5, а на фиг. 4, б кривая 3 (без экспериментальных точек) определяют радиальные и тангенциальные максимальные напряжения волны в суглинистом сезонно-мерзлом грунте с гранулометриче-



Фиг. 4



Фиг. 5

чем повышение влажности до водонасыщенного состояния при существенно меньшем понижении температуры.

Тангенциальные напряжения в мерзлом грунте (фиг. 4, а, б) заметно меньше нормальных, как и в немерзлых грунтах.

На фиг. 5 приведены графики 1—3 скорости распространения фронта волны D_f и 4, 5 максимума напряжения D_m в мерзлом суглинистом грунте. При этом графики 1—3 относятся к температуре $-0,4$, $-0,2$ и 0°C , а 4, 5 — к температуре $-0,4$ и $-0,2^\circ\text{C}$ соответственно. Понижение температуры приводит к возрастанию D_f и D_m . Вблизи от заряда ВВ, как и в немерзлых грунтах, наблюдается быстрое падение D_f и D_m с расстоянием, на большом удалении обе скорости убывают существенно медленнее. График 6 соответствует скорости распространения максимума напряжения в немерзлом водонасыщенном глинистом грунте с $\rho_0 = 2000$ — $2100 \text{ кг}/\text{м}^3$ и $\alpha_1 = 0,02$ — $0,03$ (данные [2]). Скорость D_m в грунте с $\alpha_1 = 0,048$ при $t = -0,4^\circ\text{C}$ существенно меньше, чем в немерзлом грунте при $\alpha_1 = 0,02$ — $0,03$.

Обозначим через θ длительность действия волны. Введем относительное время действия $\theta^0 = \theta / \sqrt[3]{Q}$, где Q — масса заряда ВВ. Экспериментальные значения $\theta^0 \cdot 10^3$ для двух расстояний приведены ниже. Для сопоставления даны также результаты определения $\theta^0 \cdot 10^3$ в мерзлых неводонасыщенных суглинках при $t = -3^\circ\text{C}$, взятые из работы [1] (табл. 4).

Изменение θ^0 с расстоянием происходит во всех случаях примерно по линейному закону.

Таким образом, сопоставление полученных экспериментальных данных с результатами ранее проведенных исследований показывает, что динамические свойства мерзлых грунтов существенно зависят от гранулометрического состава, содержания компонентов в исходном немерзлом состоянии и от температуры. В мерзлых водонасыщенных грунтах напряжение и скорость распространения волны больше, а дли-

ским составом, близким к рассматриваемому грунту (опыты [1]). Содержание компонентов: $\alpha_1 = 0,14$, $\alpha_2 = 0,25$, $\alpha_3 = 0,61$, $\rho_0 = 1870 \text{ кг}/\text{м}^3$. Грунт с такими характеристиками в немерзлом состоянии является неводонасыщенным. Масса зарядов ВВ составляла $0,025$ — $0,075$ кг, заглубление заряда и датчиков $0,25$ — $0,30$ м, температура грунта -3°C . Сопоставление кривых 1 и 5 на фиг. 4, а и 1 и 3 на фиг. 4, б показывает, что в неводонасыщенном грунте при $t = -3^\circ\text{C}$ максимальные напряжения существенно меньше, чем в водонасыщенном грунте при $t = -0,4^\circ\text{C}$. Цементация минеральных частиц неводонасыщенного грунта льдом приводит к меньшему изменению параметров волны,

Таблица 4

Грунт	$t, ^\circ\text{C}$	$R=10$	$R=30$
Песчаный	$-0,2$	2	4,5
	$-0,2$	2,7	4,7
	$-0,4$	1,8	3,2
	-3	19	23

тельность волны меньше, чем в мерзлых неводонасыщенных грунтах.

С понижением температуры мерзлых грунтов уменьшается количество незамерзшей воды в порах, возрастает цементация твердых частиц льдом, что приводит к уменьшению сжимаемости среды. Напряжение и скорость распространения волны при этом растут, а длительность ее действия уменьшается.

Понижение температуры мерзлых грунтов, как показывают опыты [4—6], приводит к возрастанию скорости распространения продольных волн. Таким образом, характер изменения скорости взрывных волн конечной амплитуды и продольных волн при промерзании грунта одинаковый.

Опыты [7] показывают, что объемные деформации мерзлых грунтов существенно зависят от скорости нагружения σ . В средах с такими свойствами взрывные волны размываются, превращаясь из ударных в непрерывные волны сжатия [2]. Зависимость деформации от σ показывает, что наблюдающееся в опытах размывание взрывных волн связано с объемной вязкостью.

Проведенные опыты подтверждают, что основные закономерности угасания волн в мерзлых и немерзлых грунтах имеют общий характер:

— интенсивность угасания амплитуды волны (максимального напряжения) и скорости ее распространения с расстоянием зависит от содержания компонентов, с увеличением влажности интенсивность угасания уменьшается;

— скорость фронта волны (видимого) с удалением от места взрыва уменьшается медленнее, чем скорость максимума напряжения;

— длительность нарастания напряжения до максимума и общая длительность волны при ее распространении увеличиваются, происходит размывание волны;

— нормальные и тангенциальные напряжения существенно различны;

— после прохождения волны в грунте сохраняются остаточные деформации. Все эти закономерности свойственны также немерзлым грунтам.

Мерзлые грунты, как и немерзлые, следует рассматривать как многокомпонентные твердые среды, обладающие пластическими свойствами и объемной вязкостью. Отличие от немерзлых грунтов в количественном проявлении этих свойств и в зависимости определяющих физико-механических характеристик от температуры.

Поступила 26 X 1982

ЛИТЕРАТУРА

1. Труханов Ю. Я. Экспериментальное исследование полей напряжения и скорости частиц при взрыве в мерзлом грунте. — ФГВ, 1967, № 1.
2. Ляхов Г. М. Основы динамики взрывных волн в грунтах и горных породах. М.: Недра, 1974.
3. Цытович И. А. Механика мерзлых грунтов. М.: Высш. школа, 1973.
4. Дроговейко И. З. Разрушение мерзлых грунтов взрывом. М.: Недра, 1981.
5. Фролов А. Д. Электрические и упругие свойства криогенных пород. М.: Недра, 1976.
6. Зарубин Н. Е., Джурин В. И. Сейсмические свойства мерзлых грунтов Прибайкалья. — Основания, фундаменты и механика грунтов, 1975, № 3.
7. Вовк А. А., Михалик А. В. и др. Механические свойства мерзлых грунтов при динамическом нагружении. — Основания, фундаменты и механика грунтов, 1980, № 2.